

東京都立大学工学部 ○正員 新井邦夫
東京都立大学工学部 正員 丸井信雄

1. はじめに

我々は、通常、ある予測の信頼度を、並記される不確定誤差によって知りこながざる。流出解析の目的が流量予測にあるとすれば、やはりその予測誤差を明らかにしておかねばならぬ。この場合、よく議論されてきた解析誤差とともに、モデルの係数の不確定性にも関心が向けられねばならない。ほゞなら、そもそも流出モデルは多様な不確定因子によって構成される現象を単純化したものであり、又、キャリブレーションのためのデータとのものに強い不確定性があつため、確定した係数を期待することは、たゞ個々の流域に限つたとしても、ほとんど不可能に近いとさえられるからである。

本報告は、我が国において有効なモデルの一つである総合野留関数法を例に、係数からハイドログラフへの誤差伝播計算法を提示し、2・3の考察を加えたものである。

2. 総合野留関数法

これは本村によつて次のように定義された。¹⁾

$$S/f = K(Q/f)^P \quad (1)$$

$$(1/f)(dS/dt) = I - Q/f \quad (2)$$

ここで S は単位面積当りの野留量、 I は単位時間当りの降雨量、 Q は単位面積、単位時間当りの流出量である。 K 、 P は定数でそれぞれ 40.3、0.5 とされてゐる。流入係数 f は雨量によつて異なりとされてゐるが、これは簡単のために降雨期間中一定と看えておく。

又、同様の理由から、本論では遅れ時間は考慮しない。

上記の本村の論文を一読すれば、 P はともかく、 f は $1/3$ 、 K は $1/2$ 、それらの不確定性を兼して無視する二とは出来ないと認識される。

3. 計算ハイドログラフの不確定性

係数の不確定性が計算値にどれ程影響するかを知る

手段の一つは、算出値の分散を知ることである。

ある変量が複数の確率密度の関数で与えられる場合、すなわち、

$$Y = g(X_1, X_2, \dots, X_n) \quad (3)$$

の場合、 Y の平均と分散の 1 次近似は次のように与えられる。²⁾

$$E[Y] = g(E[X_1], E[X_2], \dots, E[X_n]) \quad (4)$$

$$\text{Var}[Y] = \sum_{i=1}^n \sum_{j=1}^n \frac{\partial g}{\partial X_i} \frac{\partial g}{\partial X_j} |_{E} \text{COV}[X_i, X_j] \quad (5)$$

ここで E 、 Var 、 COV はそれぞれ平均、分散、共分散を意味する。

ここで、後の計算の都合上、次の 2 式を定義しておこう。

$$\text{Var}[X] = \{E[X] - V[X]\}^2 \quad (6)$$

$$\text{COV}[X_i, X_j] = P \cdot E[X_i] \cdot E[X_j] - V[X_i] \cdot V[X_j] \quad (7)$$

ここで V は変動係数を意味し、 P は相関係数である。

$P = 1/2$ の場合、(2)式を差分化し、 Q_i について解くと、

$$Q_i = \{A - Kf^{\frac{1}{2}}/\Delta t\}^2 \quad (8)$$

$$E[Q_i] = \sqrt{Kf^{\frac{1}{2}}/\Delta t} + (Kf^{\frac{1}{2}}Q_{i-1}^{\frac{1}{2}}/\Delta t) - 2fI - Q_{i-1}$$

を得るから、 Q_i の平均および分散は、(4)・(5)式に従って計算すると次のようになる。ただし $\Delta t = 1$ としよう。

$$E[Q_i] = (A - Kf^{\frac{1}{2}})^2 \quad (9)$$

$$\text{Var}[Q_i] = \{2f^{\frac{1}{2}}(A - Kf^{\frac{1}{2}})(Kf^{\frac{1}{2}} + Q_{i-1}^{\frac{1}{2}} - A)/A\}^2 \text{Var}[K]$$

$$+ \{(A - Kf^{\frac{1}{2}})(K^2 + 2I + Kf^{\frac{1}{2}}Q_{i-1}^{\frac{1}{2}} - Kf^{\frac{1}{2}}A)/A\}^2 \text{Var}[f]$$

$$+ \{(A - Kf^{\frac{1}{2}})(Kf^{\frac{1}{2}}Q_{i-1}^{\frac{1}{2}} - 1)/A\}^2 \text{Var}[Q_{i-1}]$$

$$+ \{2f^{\frac{1}{2}}(A - Kf^{\frac{1}{2}})(Kf^{\frac{1}{2}} + Q_{i-1}^{\frac{1}{2}} - A)(Kf^{\frac{1}{2}}Q_{i-1}^{\frac{1}{2}} - 1)/A^3\} \text{COV}[K, Q_{i-1}] \quad (10)$$

$$+ \{(A - Kf^{\frac{1}{2}})(K^2 + 2I + Kf^{\frac{1}{2}}Q_{i-1}^{\frac{1}{2}} - Kf^{\frac{1}{2}}AXKf^{\frac{1}{2}}Q_{i-1}^{\frac{1}{2}} - 1)/A^3\} \text{COV}[f, Q_{i-1}] \quad (10)$$

ここで $\text{COV}[K, f] = 0$ は明らかであるので、上の項は省略した。又、(9)式の右辺、および(10)式の右辺の各係数については、表現上の煩雑さを避けるために平均値であることの表示（例えば $E[K] \cdot [E[f]]^{1/2}$ ）を略していい。

以上によると $E[Q_i]$ の分散、そして変動係数が算出できてしまつて、次に示すケビシエフの不等式の利用によって、 Q_i の信頼区間を知ることができること。

$$P(E[Q_i](1-\alpha)V[Q_i]) \leq Q_i \leq E[Q_i](1+\alpha)V[Q_i] \text{ が } 1-\alpha \quad (11)$$

4. 数値例

図-1に示した降雨からの平均ハイドログラフは、流入係数が 0.7 の場合、(9)式より ●印のように算出される。

さて $V[K] = V[f] = 0.1$ を想定してみよう。

$P_{K,Q_i=1} = 1$ 、 $P_{f,Q_i=1} = 1$ は明らかである。この時(11)式右辺を 0.8 とすれど、左辺で定義される Q_i の範囲は、図の斜線部として示される。つまり、 K と f に関し、変動係数を 0.1 とすれど確実性を考慮するによって、予測されるハイドログラフは 80% の確率で、図の斜線範囲内に入ることと言えることになる。又、流出ハイドログラフが上側の実線以下におさまる確率は 90% であるとも言えよう。

5. 問題点

実用に当たる問題は、主として $V[K]$ 、 $V[f]$ の決定法と、ケビシエフ式の信頼性にあらうかと思う。前者に関しては、本質的にはそれらの決定は設計者に委ねられねばならないと考えていながら、本村の結果に基く限り、両者共にばくとも 0.1 以上であらねばならない。

後者に関しては、統計的により厳密な解を求めたりには、母数推定法のどれかを用いなければならない。しかし、ケビシエフ式も決して満足な結果を示すものではない。図-2に、 $K (= 40.3)$ 、 $f (= 0.7)$ が共に変動係数 0.1 を有する一様分布と仮定して時、図-1の降雨に対し、ピーク流量のヒリュウ値の累積分布を示した。図-1に示したケビシエフ式による範囲と累積分布から読み取れる 80% 領域との一致性は極めて良好である。

以上の方針は、単に流出予測の近似度を向上させたことにはとどまらず、その結果が实用性に富むものであることを強調したい。例えば、計画ハイドログラフの決定に際し、本法を用いれば、あら降雨から想定される流出ハイドログラフ全体を考慮したことになりますし、任意の確率を有するハイドログラフを計画ハイドログラフとして選定できること。

なお、 $P = 1, 2$ および ∞ に限られるけれども、一般的留出閾値法における Q_i の平均および分散は、(4)、(5) 式を用いて簡単に導出できることを付言しておく。

引用文献

- 1). 本村俊児 第14回建設研究報告
- 2). 水理学、篠田弘行 著、土木・建築のための確率統計の基礎、丸善 P.196

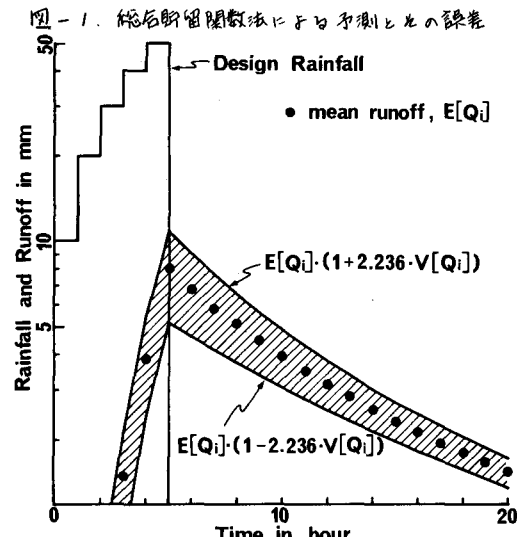


図-2. ピーク流量の累積分布

